

早稲田大学 正員 平嶋政治  
早稲田大学 学生員。矢島鎗司

## 1 緒言

一般に薄肉断面部材をもつ曲線形の解析では、曲げ振りによる反り応力と共に断面形状の変化を考慮する必要がある。開断面直線形の W.S. WLAASSOW<sup>(1)</sup> の解析方法を曲線形へ一般化して基本式を導き、さらに矩形箱型断面の場合に適用して基本微分方程式系を求めた。次ぎに数値計算を行ないそれらの結果を図示する。

## 2 基本式

軸方向変位  $U(z, s)$  と横方向変位  $V(z, s)$  を 2 つの互いに独立な関数の積の形で表す。

$$U(z, s) = \sum_{i=1}^m U_i(z) \cdot \varphi_i(s) \quad (1)$$

$$V(z, s) = \sum_{k=1}^n V_k(z) \cdot \psi_k(s) \quad (2)$$

ここで  $\varphi_i(s)$  と  $\psi_k(s)$  は、またもって選ばれる関数、 $U_i(z)$  と  $V_k(z)$  は、求める関数、 $m, n$  は、それぞれ面外、及び面内の自由度である。

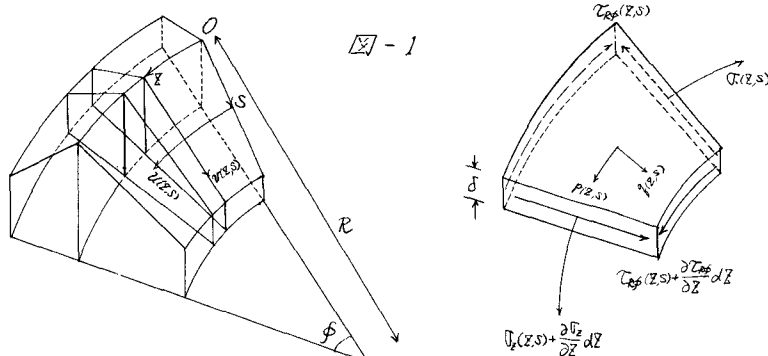
これら 2 式を Hooke の法則に代入して

$$\sigma = E \sum U'_i(z) \varphi'_i(s) \quad (3)$$

$$\tau = G [ \sum U'_i(z) \varphi'_i(s) + \sum V'_k(z) \psi'_k(s) ] \quad (4)$$

$$i = 1, 2, 3 \dots m$$

$$k = 1, 2, 3 \dots n$$



假想変位を  $\delta U_j(z, s) = 1 \cdot \varphi_j$ ,  $\delta V_k(z, s) = 1 \cdot \psi_k$  として、假想仕事の原理から

$$\oint \frac{\partial \sigma}{\partial z} \varphi_j dF - \oint \tau_{xz} \varphi'_j dF + \oint \frac{2 \tau_{xz}}{R} \varphi_j dF + \oint p \varphi_j ds = 0 \quad (5)$$

$$\oint \frac{\partial \tau}{\partial z} \psi_k dF - \oint \frac{\sigma_z}{R} \psi'_k dF - \sum V_k \oint \frac{M_x M_z}{E J} ds + \oint g \psi_k ds = 0 \quad (6)$$

(6)式の第 3 項は、断面から切り出した要素の曲げ変形による内力の仕事である。

(5), (6) 式に  $\bar{U}$ ,  $\bar{V}$  の関係を代入すれば.

$$\left. \begin{aligned} & \gamma \sum_i a_{ji} U_i'' - \sum_i (b_{ji} - \frac{2}{R} f_{ji}) U_i - \sum_k (c_{jk} - \frac{2}{R} d_{jk}) V_k' + \frac{1}{G} p_j = 0 \\ & \sum_k r_{kk} V_k'' + \sum_i (c_{ki} - \frac{\gamma}{R} d_{ki}) U_i' - \gamma \sum_k s_{kk} V_k + \frac{1}{G} q_k = 0 \end{aligned} \right\} \quad (7)$$

ここで

$$\gamma = \frac{E}{G}$$

$$a_{ji} = \int_F \varphi_j(s) \varphi_i(s) dF, \quad b_{ji} = \int_F \varphi_j'(s) \varphi_i(s) dF$$

$$c_{jk} = \int_F \varphi_j'(s) \psi_k(s) dF, \quad f_{ji} = \int_F \varphi_j(s) \varphi_i'(s) dF$$

$$d_{jk} = \int_F \varphi_j(s) \psi_k(s) dF, \quad c_{ki} = \int_F \psi_k(s) \varphi_i(s) dF$$

$$r_{kk} = \int_F \psi_k(s) \psi_k(s) dF, \quad d_{ki} = \int_F \psi_k(s) \varphi_i(s) dF$$

$$s_{kk} = \frac{1}{E} \int_L \frac{M_k(s) M_k(s)}{E J} ds, \quad i, j = 1, 2, 3, \dots, m \\ k, h = 1, 2, 3, \dots, n$$

又、断面力は、面外及び面内方向各々次の如く表わせる。

$$P_j = \int_F \bar{U} \varphi_j dF, \quad Q_k = \int_F \bar{V} \psi_k dF$$

上式に  $\bar{U}$ ,  $\bar{V}$  の関係を代入すると

$$\left. \begin{aligned} P_j &= E \sum_i a_{ji} U_i' \\ Q_k &= G \left[ \sum_i c_{ki} U_i + \sum_k r_{kk} V_k' \right] \end{aligned} \right\} \quad (8)$$

(8)の上の式と(3)式より  $P_1 = \int_F \bar{U} \cdot 1 dF = N$ ,  $P_2 = \int_F \bar{U} \cdot x dF = -M_y$ .  $P_3 = \int_F \bar{U} \cdot y dF = M_x$ ,

$\varphi_1 = 1$ ,  $\varphi_2 = x$ ,  $\varphi_3 = y$  とおいて  $\bar{U} = \frac{N}{F} + \frac{M_y}{J_y} x + \frac{M_x}{J_x} y$  となり固有の式を得る。

ここで  $U$ ,  $V_k$  は各々一般的な変位を表わしている、即ち微少部分についての約り合いから式を求めておらず、実際の構造物の計算においては一つの基準座標（オイラー角）に変換しなければならない。

### 3 矩形断面

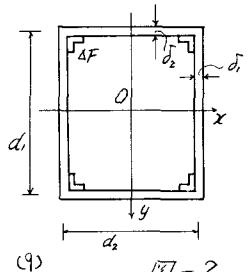
2で求めた基本式を箱型断面に適用すると、まず

$$\varphi_1(s) = 1, \quad \varphi_2(s) = x, \quad \varphi_3(s) = y, \quad \varphi_4(s) = xy$$

$$\psi_1(s) = x, \quad \psi_2(s) = x', \quad \psi_3(s) = y', \quad \psi_4(s) = x'y' + xy'$$

又、幾何学的条件から一般的変位を基準座標に変換すると、

$$\left. \begin{aligned} U_1 &= \xi, \quad U_2 = \vartheta_x, \quad U_3' = -\eta' + \frac{\theta}{R}, \quad U_4 = \vartheta_y, \quad U_5' = \xi' + \frac{\eta}{R} \\ V_2 &= \xi, \quad V_3 = \eta, \quad V_4 = \theta, \quad U_6 = U, \quad V_6 = \vartheta \end{aligned} \right\} \quad (9)$$



たゞしここで  $J$  は反り (Verwölbung),  $\alpha$  は形状変形 (Konturdeformation) である。

箱型断面の基本微分方程式は。

$$\left. \begin{aligned} EFU_1'' + \frac{2E}{R} \left\{ F_2(U_2 + V_2') + F_1(U_3 + V_3') \right\} + p_1 &= 0 \\ EJ_y U_2'' - 2GF_2(U_2 + V_2') + \frac{G}{R} d_2^2 F_1(U_4 + V_1' + V_4') + p_2 &= 0 \\ 2GF_2(U_2' + V_2'') - \frac{2}{R} EF_2 U_2' + g_2 &= 0 \\ EJ_x U_3'' - 2GF_1(U_3 + V_3') + \frac{G}{R} d_1^2 F_2(U_4 + V_1' + V_4') + p_3 &= 0 \\ 2GF_1(U_3' + V_3'') - \frac{2}{R} EF_1 U_3' + g_3 &= 0 \\ aU_4'' - b_1 U_4 - b_2 V_1' - b_3 V_4' + p_4 &= 0 \\ b_2 U_4' + b_3 V_1'' + b_3 V_4'' - \frac{y}{R} \left\{ (b+b_3) U_2' - (b-b_3) U_3' \right\} + g_4 &= 0 \\ b_1 U_4' + b_2 V_1'' + b_3 V_4'' - \frac{y}{R} \left\{ (b+b_3) U_2' + (b-b_3) U_3' \right\} - c V_4 + g_5 &= 0 \end{aligned} \right\} \quad (10)$$

ここで

$$\begin{aligned} F &= 2F_1 + 2F_2 + 4\alpha F \\ J_x &= d_1^2 \left( \frac{F_1}{6} + \frac{F_2}{2} + \Delta F \right) \\ J_y &= d_2^2 \left( \frac{F_2}{6} + \frac{F_1}{2} + \Delta F \right) \\ a &= \frac{1}{24} E d_1^2 d_2^2 (F_1 + F_2 + 6\alpha F) \\ b_1 &= \frac{1}{2} G (d_1^2 F_1 + d_2^2 F_2) \\ b_2 &= \frac{1}{2} G (-d_1^2 F_1 + d_2^2 F_2) \\ C &= -\frac{96}{\frac{d_1}{EJ_1} + \frac{d_2}{EJ_2}} \end{aligned}$$

断面力

$$\left. \begin{aligned} N &= EFU_1' \\ M_x &= EJ_x U_3' \\ M_y &= -EJ_y U_2' \\ Q_x &= 2GF_2(U_2 + V_2') \\ Q_y &= 2GF_1(U_3 + V_3') \\ H &= b_1 U_4 + b_2 V_1' + b_3 V_4' \\ B &= -a U_4' \\ Q &= b_1 U_4 + b_2 V_1' + b_3 V_4' \end{aligned} \right\} \quad (11)$$

$N$ : 軸力,  $M_x, M_y$ : 曲げモーメント,  $Q_x, Q_y$ : 剪断力,  $H$ : 扭りモーメント,  $B$ : ハイモーメント (反り),  $Q$ : 機方向バイモーメント (断面変化)。  
 (10) (11) 式を (9) の関係を考慮して微分方程式を解き、一般解の積分定数と初期値を置きかえ

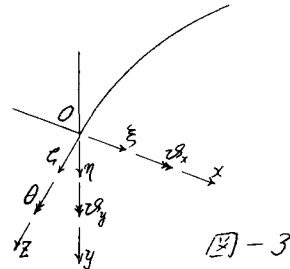


図-3

2 Anfangsmatrix と 1F まと 16 元の Matrix となる。

#### 4 数値計算例

$$d_1 = 175.00 \text{ cm}, d_2 = 160.00 \text{ cm}, d_3 = 1.00 \text{ cm}, d_4 = 2.00 \text{ cm}$$

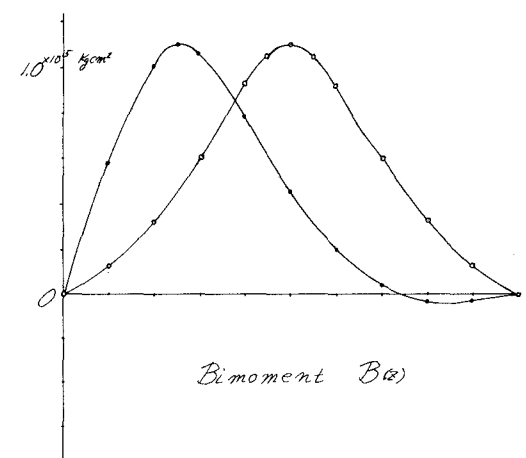
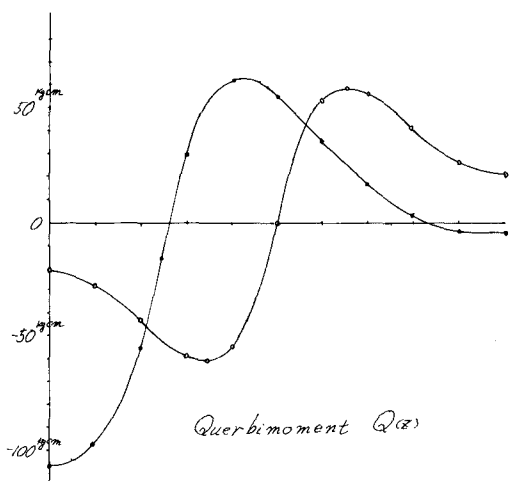
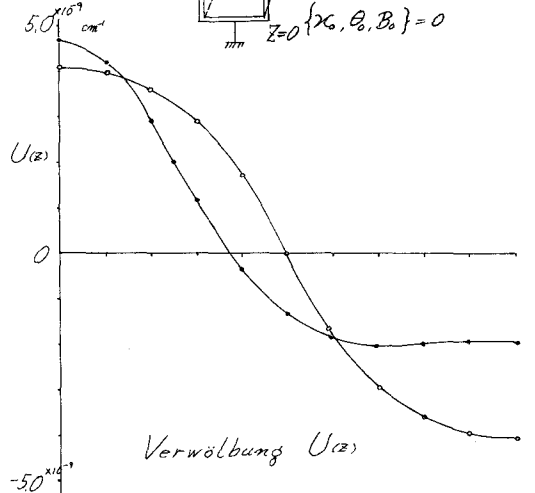
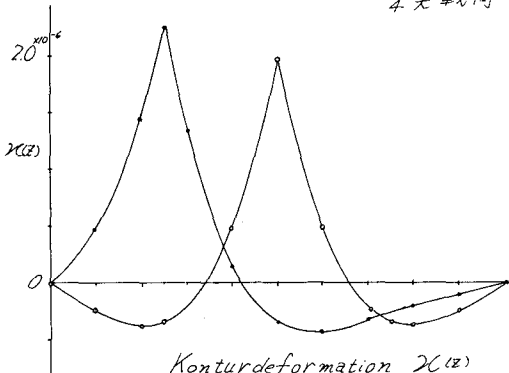
$$E = 2.1 \times 10^6 \text{ kg/cm}^2, G = 0.4E$$

$$\rho = 3500.00 \text{ cm}$$

$$R = 35000.00 \text{ cm}$$

$$H = 1 \text{ t.m}$$

- 中央載荷
- 1/4 窓載荷



#### 5 結論

以上 溝肉閉断面部材の断面の変化を考慮した一般式を変分法を用いて説導し矩形箱型断面に応用 数値計算を試みたが、断面の変化と折から切り出した単位巾をもつたラーメン変形と考えているので、ラーメン部材の剛性を考慮する事により断面のダイアフラム等により補強された部材の影響を評価する事が出来ると思われる。

”Dünnwandige elastische Stäbe“ W.S. Weissow Verlag für Bauwesen Berlin, 1964